

# 动态关联和 $^{110}\text{Cd}$ 的集体态\*

狄尧民

(徐州师范大学物理系 徐州 221009)

**摘要** 提出了动态关联的概念，并用这种关联讨论了 $^{110}\text{Cd}$ 的集体态。同时还考虑了该核素中的g玻色子自由度，并在sdf玻色子的框架下讨论了它的八极态。

**关键词** 动态关联 集体态 g玻色子自由度 八极态

## 1 引言

$^{110}\text{Cd}$ 一直是令人感兴趣的核素，早先认为它是振动核的典型<sup>[1]</sup>，相互作用玻色子模型(IBM)出现后即认为它是SU(5)极限的典型<sup>[2]</sup>。后来发现该核素的低集体激发态并非那样简单，它们是由两部分组成<sup>[3-7]</sup>：一部分是只有价核子参与的集体运动(称为正常态)，而另一部分则包含质子跨Z=50闭壳的2粒子2空穴激发(称为闯入态)。

在IBM框架下，这两种态可分别用7玻色子态和9玻色子态来描述。两种态之间有混合，通常用哈密顿算符中包含玻色子数不守恒的项来处理。但正常态和闯入态之间的关联也可能存在另一种方式，即哈密顿保持玻色子守恒，而在跃迁算符中包含玻色子数不守恒项。为了区分这两种不同混合方式，这里把第一种称之为静态混合；第二种为动态关联。

数年前，J.Kern等人用 $^{108}\text{Pd}(\alpha, 2n\gamma)$ 反应对 $^{110}\text{Cd}$ 进行深入系统的研究<sup>[7]</sup>，丰富了 $^{110}\text{Cd}$ 核结构数据，并用静态混合的观点在IBM的框架下对集体态进行了细致的分析。本文的目的是用动态关联的观点来讨论 $^{110}\text{Cd}$ 的集体态，同时还考虑了该核素中的g玻色子自由度，并在sdf玻色子的框架下讨论了它的八极态。

## 2 能谱

对于动态关联，哈密顿保持玻色子数守恒，正常态和闯入态的能谱可以完全分开考虑。较早期的工作认为 $0_3^+$ 为闯入态<sup>[4,5]</sup>，后发现基于 $0_2^+$ 的带，现一般认为该带为闯入带<sup>[6,7]</sup>。对于该核素的核结构数据进行仔细的分析，可以发现尽管 $0_2^+$ 现应划入闯入态，而正常态仍可看作IBM-I SU(5)极限的典型。SU(5)极限的能谱公式为<sup>[2]</sup>

1997-01-15收稿

\*江苏省教委自然科学基金资助

$$E_N = \epsilon_d n_d + \frac{1}{2} \alpha n_d (n_d - 1) + \beta (n_d - v) (n_d + v + 3) + \gamma [L(L+1) - 6n_d]. \quad (1)$$

根据文献[7]的数据, 闯入态只有一个带. 其所以没有将更多的能级划入闯入态, 这不仅是由于能级的位置, 更主要的是由于电磁跃迁方面的考虑. 将2粒子2空穴激发看作准粒子, 用s'玻色子来描述, 闯入带可以看作s'玻色子与基带的耦合. 相应的哈密顿为

$$H = H_d + \epsilon_{s'} + x [(s'^\dagger d^\dagger)(s' d)]^{(0)}, \quad (2)$$

其中 $H_d$ 为s、d玻色子 $SU(5)$ 极限的哈密顿,  $\epsilon_{s'}$ 为s'玻色子的单体能量, 第三项为s'玻色子与d玻色子的相互作用. s'玻色子与s玻色子的相互作用可以被吸收到 $\epsilon_{s'}$ 中. 这样闯入带的能量公式为

$$E_I = E(d^{\pi_d}, L = 2n_d) + \epsilon_{s'} + x n_d, \quad (3)$$

其中第一项为基带中相应能级的能量.

文献[8]中讨论了振动核区的g玻色子自由度, 并初步推断<sup>110</sup>Cd中能量为2561.3keV的 $4^+$ 态和3121.6keV的 $6^+$ 态为 $\Gamma$ 态(即一个g玻色子和6个sd玻色子组成的态). 现有的实验数据继续支持这一推断. 这里 $4_F^+$ 、 $6_F^+$ 态为文献[9]中H带的一部分, 该带的能级公式为

$$\begin{aligned} E_F &= E(d^{\pi_d}, L_d = 2n_d; g; L = 2n_d + 4) = \\ &= E(d^{\pi_d}, L_d = 2n_d) + \epsilon_g + C_g^l n_d. \end{aligned} \quad (4)$$

J.Kern等人是在sdpf玻色子模型的框架下讨论八极态的. 但p<sup>-</sup>玻色子在这里的物理意义不清楚. 这是因为在<sup>110</sup>Cd价中子所在的主壳中, 单粒子能级为 $1g_{7/2}, 2d_{5/2}, 2d_{3/2}, 3s_{1/2}, 1h_{11/2}$ , 正负宇称能级角动量相差至少为2, 不能形成角动量为1、宇称为负的核子对. 价质子情况与此类同, 又无其它较为合理的解释p<sup>-</sup>玻色子存在的物理机制. 因此这里采用IBM处理八极态的原来形式, 即用一个f<sup>-</sup>玻色子与N-1个s、d玻色子组成的态来描述. 这时八极振动带即为文献[2]中的N带, 波函数可用

$$| [N]n_d, L_d = 2n_d; f; L = 2n_d + 3 \rangle \quad (5)$$

来标记, 能级公式为:

$$\begin{aligned} E_{oct} &= E(d^{\pi_d}, L_d = 2n_d; f; L = L_d + 3) = \\ &= E(d^{\pi_d}, L_d = 2n_d) + \epsilon_f + x_s n_d, \end{aligned} \quad (6)$$

用这种模式来处理还可以避免实验上没有找到sdpf模型中应出现 $1^-$ 能级的困难.

对1089.5 keV的 $2^+$ 能级, 经A.Giannatiempo等人<sup>[10]</sup>分析认为它属于混合对称态, 即F旋 $F = F_{max} - 1$ 的态, 本文就不再讨论.

选取 $\epsilon_d = 700$  keV,  $\alpha = 20$  keV,  $\beta = 25$  keV,  $\gamma = 10$  keV,  $\epsilon_{s'} = 1400$  keV,  $x = -300$  keV,  $\epsilon_g = 2561$  keV,  $C_g^l = -139$  keV,  $\epsilon_f = 2080$  keV,  $x_s = -260$  keV进行理论计算, 理论和实验的比较如图1所示, 具体数值结果列于表1之中. 为了比较, 表中还列出了J.Kern等人用IBM-II按静态混合模式计算所得的结果.

从图1、表1可以看出, 除 $\beta$ 带外, 理论和实验符合得都比较好. 从图表中还可以看出, 2561.3 keV的 $4^+$ 态在IBM-I中无适当的位置, 即使J.Kern等人用IBM-II进行较细致的计算, $4_4^+ - 4_6^+$ 的理论值对实验值也有系统偏离, 因此将它解释为 $\Gamma$ 态是合理的.

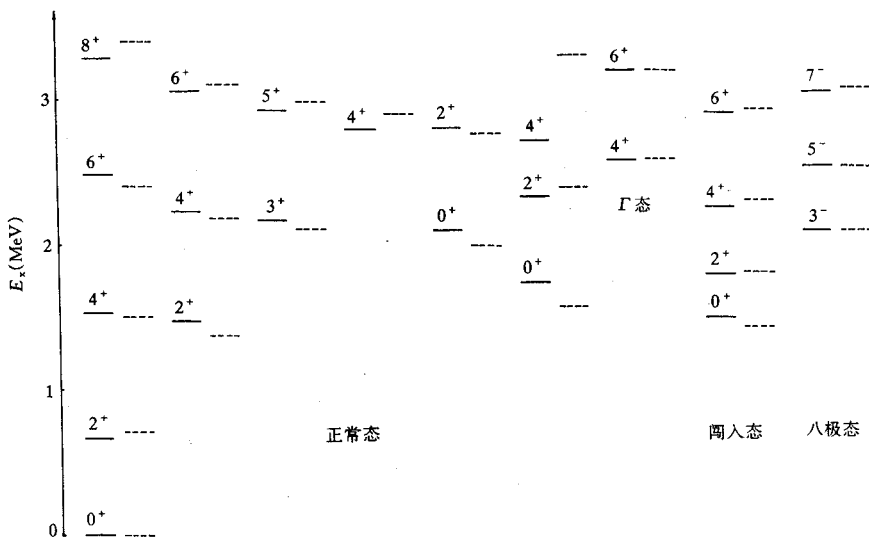


图1  $^{110}\text{Cd}$ 能谱理论和实验的比较  
——实验值，---理论值。实验数据引自文献[7]。

表1  $^{110}\text{Cd}$ 能谱理论和实验比较\*

(单位: keV)

标记	$I^\pi$	实验值	理论值	误差 $\Delta$	
				本工作	J. Kern等
$0_1^+ = 0_g^+$	$0^+$	0.0	0	0	0
$2_1^+ = 2_g^+$	$2^+$	657.8	700	42	16
$0_2^+ = 0_I^+$	$0^+$	1473.1	1400	-73	-133
$2_2^+$	$2^+$	1475.8	1360	-116	-71
$4_1^+ = 4_g^+$	$4^+$	1542.4	1500	-42	-77
$0_3^+$	$[0]^+$	1731.4	1550	-181	-168
$2_3^+ = 2_I^+$	$2^+$	1783.5	1800	16	-117
$2_4^+ = 2_M^+$	$[2^+]$	1809.5			15
$0_4^+$	$0^+$	2078.7	1980	-99	49
$3_1^+$	$3^+$	2162.8	2100	-63	-23
$4_2^+$	$4^+$	2220.1	2180	-40	42
$4_3^+ = 4_I^+$	$4^+$	2250.5	2300	49	-140
$2_5^+$	$[2^+]$	2332.1	2390	58	-58
$6_1^+ = 6_g^+$	$6^+$	2479.9	2400	-80	-154
$4_4^+ = 4_I^+$	$4^+$	2561.3	2561	0	218
$4_5^+$	$4^+$	2707.4	2880	173	201
$2_6^+$	$[2^+]$	2787.3	2740	-47	-93
$4_6^+$	$4^+$	2793.4	3280	387	666
$6_2^+ = 6_I^+$	$6^+$	2876.8	2900	23	-34
$5_1^+$	$5^+$	2926.8	2980	53	32

表1(续)

标记	$I^\pi$	实验值	理论值	误差 $\Delta$	
				本工作	J. Kern等
6 <sub>3</sub> <sup>+</sup>	6 <sup>+</sup>	3064.2	3100	46	29
6 <sub>4</sub> <sup>+</sup> =6 <sub>7</sub> <sup>+</sup>	6 <sup>+</sup>	3121.6	3122	0	—
8 <sub>1</sub> <sup>+</sup> =8 <sub>8</sub> <sup>+</sup>	8 <sup>+</sup>	3275.5	3400	124	-19
8 <sub>2</sub> <sup>+</sup> =8 <sub>7</sub> <sup>+</sup>	8 <sup>+</sup>	3791.6	3600	192	-26
3 <sub>6</sub> <sup>-</sup>	3 <sup>-</sup>	2078.8	2080	1	—
5 <sub>6</sub> <sup>-</sup>	5 <sup>-</sup>	2539.7	2520	-20	—
7 <sub>6</sub> <sup>-</sup>	7 <sup>-</sup>	3029.1	3060	31	—
9 <sub>6</sub> <sup>-</sup>	9 <sup>-</sup>	3683.2	3700	17	—

\* 实验数据引自文献[7]

### 3 电磁跃迁

电磁跃迁是原子核的重要特性之一。电磁跃迁几率对波函数很敏感,因此它对核模型的检验和评价有重要意义。

设正常态之间和闯入态之间 E2 跃迁算符分别为

$$T(E2) = q_1(d^\dagger s + s^\dagger \tilde{d}) + q_2(d^\dagger \tilde{d})^{(2)}, \quad (7)$$

$$T'(E2) = q'_1(d^\dagger s + s^\dagger \tilde{d}) + q'_2(d^\dagger \tilde{d})^{(2)}. \quad (8)$$

在  $SU(5)$  极限下,如仅考虑  $\Delta n_d = \pm 1$  之间的跃迁,  $q_2$  和  $q'_2$  对跃迁几率无贡献。

正常态和闯入态之间的跃迁算符可取为

$$\tilde{T}(E2) = s' [q_1 s^\dagger \tilde{d} + q_2 (d^\dagger \tilde{d})^{(2)} + q_3 d^\dagger s] + \text{h.c.} \quad (9)$$

设正常态和闯入态中的 d 玻色子数分别为  $n_d$  和  $n'_d$ , 角动量分别为  $L$  和  $L'$ 。对于从闯入态到正常态的跃迁, 则有

(1) 当  $\Delta n_d = n_d - n'_d = -1, L' = 2n_d + 2, L = 2n_d$ ,

$$B(E2) = \tilde{q}_1^2 (N - n_d) (n_d + 1); \quad (10)$$

(2) 当  $\Delta n_d = 0$

$$B(E2) = \tilde{q}_2^2 \frac{n_d (4n_d + 3) (2n_d + 1)}{7(4n_d - 1)}, \text{当 } L' = 2n_d, L = 2n_d; \quad (11)$$

$$B(E2) = \tilde{q}_2^2 \frac{8n_d (n_d - 1)}{7(4n_d - 1)}, \text{当 } L' = 2n_d, L = 2n_d - 3; \quad (12)$$

(3) 当  $\Delta n_d = 1$

$$B(E2) = \tilde{q}_3^2 \frac{(N - n_d + 1) n_d (4n_d + 1)}{4n_d - 3}, \text{当 } L' = 2n_d - 2, L = 2n_d; \quad (13)$$

$$B(E2) = \tilde{q}_3^2 \frac{2(N - n_d + 1) (2n_d - 1)}{4n_d - 5}, \text{当 } L' = 2n_d - 2, L = 2n_d - 2; \quad (14)$$

$$B(E2) = \tilde{q}_3^2 \frac{2(N - n_d + 1)(n_d - 2)}{2n_d - 3}, \text{ 当 } L' = 2n_d - 2, L = 2n_d - 3. \quad (15)$$

如果是从正常态向闯入态跃迁, 当  $\Delta n_d = n'_d - n_d = -1$ ,  $L = 2n_d + 2$ ,  $L' = 2n_d$  时, 则有

表2  $^{110}\text{Cd}$   $B(E2)$  的理论值和实验值比较\*

初态 $E_x(J^\pi)$	末态 $E_x(J^\pi)$	实验值	理论值	
			本工作	J. Kern 等
658( $2_g^+$ )	0( $0_g^+$ )	1.0	$\equiv 1.0$	$\equiv 1.0$
1476( $2_2^+$ )	658( $2_g^+$ )	1.3	1.71	1.3
	0( $0_g^+$ )	0.049	—	0.0035
1542( $4_g^+$ )	658( $2_g^+$ )	1.53	1.71	1.67
1783( $2_1^+$ )	1473( $0_1^+$ )	$\equiv 100$	$\equiv 100$	$\equiv 100$
	1476( $2_2^+$ )	$\ll 4700$	43.3	21
	658( $2_g^+$ )	< 2.5	7.0	0.06
	0( $0_g^+$ )	$\approx 2.4$	2.3	0.21
2162( $3_1^+$ )	1476( $2_2^+$ )	$\equiv 100(4)$	$\equiv 100$	$\equiv 100$
	1542( $4_g^+$ )	42(4)	40	33
	658( $2_g^+$ )	3.3(3)	—	1
2220( $4_2^+$ )	1476( $2_2^+$ )	$\equiv 100(1)$	$\equiv 100$	$\equiv 100$
	1542( $4_g^+$ )	40(6)	90.9	128
	658( $2_g^+$ )	0.535(6)	—	6.0
2250( $4_1^+$ )	1784( $2_1^+$ )	$\equiv 100(14)$	$\equiv 100$	$\equiv 100$
	1542( $4_g^+$ )	48(28)	9.2	9.0
	1476( $2_2^+$ )	1.8(8)	1.3	21.0
	658( $2_g^+$ )	0.19(1)	2.3	0.03
2480( $6_g^+$ )	2251( $4_1^+$ )	40(3)	40	17
	1542( $4_g^+$ )	$\equiv 100(3)$	$\equiv 100$	$\equiv 100$
2561( $4_1^+$ )	1542( $4_g^+$ )	< 1.5	1.4	270
	1476( $2_2^+$ )	$\equiv 100(4)$	$\equiv 100$	$\equiv 100$
	658( $2_g^+$ )	1.4(1)	1.4	900
2707( $4_5^+$ )	2163( $3_1^+$ )	$\equiv 100(125)$	$\equiv 100$	$\equiv 100$
	1542( $4_g^+$ )	< 7	—	0.04
2793( $4_6^+$ )	2220( $4_2^+$ )	$\equiv 100(200)$	$\equiv 100$	$\equiv 100$
	2162( $3_1^+$ )	< 19	46.7	1
	1542( $4_g^+$ )	47(13)	—	2
2877( $6_1^+$ )	2250( $4_1^+$ )	$\equiv 100$	$\equiv 100$	$\equiv 100$
	1542( $4_g^+$ )	1.38	2.25	0.38
2927( $5_1^+$ )	2480( $6_g^+$ )	30(3)	45	27
	2220( $4_2^+$ )	73(2)	45.5	30
	2163( $3_1^+$ )	$\equiv 100.0(4)$	$\equiv 100$	$\equiv 100$
	1542( $4_g^+$ )	0.90(7)	—	0.54

表2(续)

初态 $E_{\alpha}(J_i^{\pi})$	末态 $E_{\alpha}(J_f^{\pi})$	实验值	理论值	
			本工作	J. Kern 等
3065( $6_3^+$ )	2480( $6_6^+$ )	< 105	46.7	14
	2220( $4_2^+$ )	$\equiv 100(6)$	100	$\equiv 100$
	1542( $4_8^+$ )	0.27(5)	—	1
3792( $8_7^+$ )	2877( $6_7^+$ )	$\equiv 100(5)$	$\equiv 100$	$\equiv 100$
	2480( $6_8^+$ )	12.9(5)	2.3	1.4

\* 实验数据引自文献[7], 单位为 $e^2 b^2$ . 当只有相对值时, 将带内跃迁取为100.

$$B(E2) = \tilde{q}_3^2 (N - n_d) (n_d + 1). \quad (16)$$

上述公式中  $N$  为总玻色子数.

sdg-IBM-I 中的  $E2$  跃迁算符已由文献[8]给出, 由此算出  $4_F^+$  态到  $2_g^+$ 、 $4_g^+$  和  $2_2^+$  的  $B(E2)$  分别为  $5\gamma_2^2/9$ ,  $10\gamma_3^2(N-1)/9$  和  $2\gamma_4^2(N-1)$ . 另有, 将 3121.6 keV 的  $6^+$  能级定为  $\Gamma$  态, 这不仅是由于能级位置, 还在于它存在着文献[8]讨论的  $6_F^+$  态应有的各种跃迁, 即它到  $4_g^+$ 、 $6_g^+$ 、 $4_2^+$  和  $4_F^+$  的电磁跃迁<sup>[11]</sup>.

选取  $q'_1 = 1.26q_1$ ,  $\tilde{q}_1 = 0.15\tilde{q}'_1$ ,  $\tilde{q}_2 = -0.60q'_1$ ,  $\tilde{q}_3 = 0.50\tilde{q}'_1$ ,  $\gamma_2 = 0.55\gamma_4$ ,  $\gamma_3 = 0.16\gamma_4$ ,  $q_1 = 0.38$  eb 来计算  $B(E2)$  或  $B(E2)$  的相对值. 理论计算的结果及与实验的比较列于表2, 同样表中还列出了 J. Kern 等人用 IBM-II 来计算的结果.

现在讨论与八极态有关的跃迁. 如忽略 f 玻色子本身的四极矩, 则八极态之间的  $E2$  跃迁算符形式与正常态相同, 设其为

$$T''(E2) = q''_1 (d^\dagger s + s^\dagger \tilde{d}) + q''_2 (d^\dagger \tilde{d})^{(2)}, \quad (17)$$

则八极态带内跃迁为

$$B(E2 L' = 2n_d + 5 \rightarrow L = 2n_d + 3) = q''_1^2 (N - n_d - 1) (n_d + 1). \quad (18)$$

八极态和正常态之间的  $E1$  跃迁算符可取为

$$\begin{aligned} T(E1) = & \alpha (d^\dagger \tilde{f} + f^\dagger \tilde{d})^{(1)} + \beta_1 [(d^\dagger s^\dagger)(\tilde{f} \tilde{s})]^{(1)} + \text{h.c.} + \\ & \beta_2 [(d^\dagger d^\dagger)^{(2)}(\tilde{f} \tilde{s})]^{(1)} + \text{h.c.} \end{aligned} \quad (19)$$

与文献[12]类同, 这里引进了二体项. 则八极带到基带  $Y_0$  之间的  $E1$  跃迁为

$$\begin{aligned} B(E1 L' = 2n'_d + 3 \rightarrow L = 2n_d \quad n_d = n'_d + 1) = & \\ \frac{3}{7} [\alpha + \beta_1 (N - n_d + 1)]^2 n_d^2. \end{aligned} \quad (20)$$

八极带到  $Y_2$  之间的  $E1$  跃迁为

$$\begin{aligned} B(E1 L' = 2n'_d + 3 \rightarrow L = 2n_d - 2 \quad n_d = n'_d + 2) = & \\ \frac{3}{98} \beta_2^2 \frac{(N - n_d + 1)(2n_d + 1)^2(4n_d - 1)}{(2n_d - 1)^2}. \end{aligned} \quad (21)$$

八极态和闯入态之间的  $E1$  跃迁算符可取为

$$\tilde{T}(E1) = \tilde{\alpha} (s'^\dagger (d^\dagger \tilde{f})^{(1)} + \text{h.c.}) + \tilde{\beta} (s'^\dagger [(d^\dagger s^\dagger)(\tilde{f} \tilde{s})]^{(1)} + \text{h.c.}). \quad (22)$$

则八极带到闯入带的  $E1$  跃迁为

$$B(E1 L' = 2n'_d + 3 \rightarrow L = 2\tilde{n}_d \quad \tilde{n}_d = n'_d + 1) =$$

$$\frac{3}{7} [\tilde{\alpha} + \tilde{\beta}(N - \tilde{n}_d + 1)^2 \tilde{n}_d^2]. \quad (23)$$

适当选取参数即可很好地拟合有关实验数据(见文献[7]中表7).由于数据较少,拟合结果就不再列出.

从本文的分析和讨论可以看出,无论是能谱还是跃迁几率,理论和实验符合得都比较好.这说明考虑了闯入态等因素后, $^{110}\text{Cd}$ 仍可看成是  $SU(5)$ 极限的典型,同时也说明了动态关联有可能是一种较为合理的物理图象.另外本文的工作支持该核素存在着  $\Gamma$  态的推测,探索振动核区的 g 玻色子自由度是有意义的.

### 参 考 文 献

- [1] Eisenberg J M, Greiner W. Nuclear Model. Amsterdam: North-Holland Publishing Company, 1970. 62—69
- [2] Arima A, Iachello F. Ann. of Phys., 1976, **99** (2): 253—317
- [3] Heyde K, Van Isacker P, Waroquier M et al. Phys. Rev., 1982, **C25** (6): 3160—3177
- [4] Sambataro M. Nucl. Phys., 1982, **A380** (3): 365—382
- [5] Aprahamian A, Brenner D S, Casten R F et al. Phys. Lett, 1984, **140B** (1): 22—28
- [6] Kusnezov D, Bruder A, Ionescu V et al. Helv. Phys. Acta., 1987, **60**: 456
- [7] Kern J, Bruder A, Drissi S et al. Nucl. Phys., 1990, **A512** (1): 1—45
- [8] Di Yaomin. High Energy Phys. and Nucl. Phys. (in Chinese), 1991, **15** (7): 660—668  
(狄尧民. 高能物理与核物理, 1991, **15**: 660—668)
- [9] Di Yaomin. Chin.J. Nucl. Phys. (in Chinese), 1988, **10**(3): 203—209  
(狄尧民. 原子核物理, 1988, **10**: 203—209)
- [10] Giannatiempo A, Nannini A, Perego A et al. Phys. Rev., 1991, **C44** (4): 1508—1514
- [11] de Gelder P, Jacobs E, de Frenne D. Nucl. Data Sheets, 1983, **38** (4): 545—650
- [12] Di Yaomin. High Energy Phys. and Nucl. Phys. (in Chinese), 1982, **6** (2): 208—218  
(狄尧民. 高能物理与核物理, 1982, **6**(2): 208—218)

## Dynamical Correlation and the Collective States in $^{110}\text{Cd}$

Di Yaomin

(Department of Physics, Xuzhou Normal University, Xuzhou 221009)

**Abstract** The collective states in  $^{110}\text{Cd}$  are discussed with the proposed concept of dynamical correlation, while the g-boson degree of freedom is also considered. The octopole state is discussed in the frame of sdf boson model.

**Key words** dynamical correlation, collective state, g-boson degree of freedom, octopole state